

NÁVRH TRANSFORMÁTORU EI.

1. Volba velikosti jádra:

- a) Vypočítáme celkový výkon na sekundáru $P_S : P_2 = \sum P_{Si} = \sum U_{Si} I_{Si}$
 kde P_{Si} jsou výkony jednotlivých vinutí sekundáru
 U_{Si} " efektivní hodnoty napětí jednotlivých vinutí sekundáru
 I_{Si} " " proudu "
- b) Z grafu č.1 odečteme pro daný výkon P_S přibližnou účinnost η
- c) Vypočítáme příkon transformátoru P dle vzorce $P = P_S / \eta$
- d) Z taboč.1, sl.2 určíme pro daný příkon (sloupec 1) typ jádra, výšku svazku a počet plechů. Pro tento typ jádra můžeme odečíst všechny jeho rozměry v taboč.2. Plechy tloušťky 0,5 mm použijeme pro větší výkony a 50 Hz, plachy tloušťky 0,35 pro malé výkony a 50 Hz nebo vyšší frekvence.

2. Stanovení počtu závitů:

- a) Určíme počet závitů na vojt N podle vzorce $N = \frac{10^4}{4,44 \cdot f \cdot B_{max} \cdot S_2} [z/V; Hz, T, cm^2]$
 kde f je frekvence vstupního napětí
 B_{max} je maximální sycení jádra
 S_2 je čistý průřez jádra (uvedený v taboč.1, sl.4 pro 2 užívané tloušťky plechů)
 Pro $f = 50$ Hz a $B_{max} = 1$ T můžeme N přímo odečíst v taboč.1, sl.3 (pro 2 tloušťky plechů). Pro $B'_{max} \neq 1$ T a $f' \neq 50$ Hz je možno určit N násobením hodnot taboč.1, sl.3 výrazem $\frac{50}{B'_{max} \cdot f'}$
- b) Počty závitů jednotlivých vinutí určíme takto: počet závitů primáru $N_1 = N.U_1$, kde U_1 je efektivní hodnota vstupního napětí. Počty závitů jednotlivých vinutí sekundáru: $N_{Si} = N.U_{Si}.k$ kde k odečteme pro daný výkon P_S z grafu č.1.

3. Volba vodičů:

- a) Určíme proudovou hustotu σ ve vodičích: $\sigma = k_\sigma \cdot \Delta U [A/mm^2; A/mm^2, \%]$
 kde ΔU odečteme z grafu č.1 pro příslušný výkon P_S a k_σ odečteme, pro σ -vodiče a dané plnění čluky (50 - 100%), z taboč.1, sl.5
- $$k_\sigma = \frac{1}{2 \rho \cdot N \cdot l_S} [A/mm^2; \Omega mm^2/m, 1/V, cm]$$

kde ρ je měrný odpor a l_{si} je střední délka závitu všech vinutí, kterou můžeme odebírat ve sl.6, tab.1 pro plnění 50% nebo 100%. Totoho vzorce použijeme, počítáme-li II kde dle daného vzorce pro jiné vinutí než Cu.

- b) K vypočtenému σ a daným proudům ve vinutích I_{si} zvolíme z tab.3, sl.1 a 2 (pouze pro Cu vinutí) průměry vodičů sekundáru d. ($\sigma_{\text{tab}} \leq \sigma$)
Průměr vodiče primáru určíme opět z tab.3 pro stejně σ a $I_{\text{p}} = \frac{P}{U_1}$

4. Kontrola plnění okénka:

- a) Rychle (avšak pouze přibližně) se o proveditelnosti vinutí na daném jádře přesvědčíme takto: Z tab. č.3, sl.3 odebíráme pro průměry jednotlivých vinutí počty závitů na $\text{cm}^2 n_i$. Odtud plochy jednotlivých vinutí: $S_i = \frac{N_i}{n_i} [\text{cm}^2]$
Platí-II $1,25 \sum S_i \leq S_V$, je vinutí na daném jádře proveditelné. S_V je plocha pro vinutí, kterou najdeme v tab.1, sl.7 pro vývody na 1 nebo 2 stranách cívky.
Není-II splňena tato podmínka, je nutné zvolit větší jádro.
- b) Přesná kontrola proveditelnosti vinutí z tab.č.3, sl.4 odebíráme pro průměry jednotlivých vinutí počet záv. na cm šípky vinutí n_i . V tab.č.1, sl.8 najdeme užitelné šírky ξ pro vinutí s vývody na jedné nebo obou stranách.
Počet poloh (vrstev) x_i i-tého vinutí určíme ze vzorce: $x_i = \frac{N_i}{\xi h_i} [\text{cm}, 1/\text{cm}]$
a výšku i-tého vinutí h_i : $h_i = 1,1 x_i \cdot d_{\max} [\text{mm}, \text{mm}]$
kde průměr daného vodiče s izolací je d_{\max} , viz tab.č.3, sl.5
K výšce h_i připočteme celkovou tloušťku prokladových vrstev mezi polohami (viz poznámky o izolacích), čímž dostaneme celkovou výšku i-tého vinutí h_i . Je-li $\sum (h_i + h_{i+1}) \leq h_o$, je vinutí na daném jádře proveditelné. h_o je výška prokladové vrstvy mezi dvěma vinutími, případně na povrchu cívky (viz pozn. o izolacích)
 h_o je užitelná výška okénka, kterou odebíráme v tab.1, sl.9.

5. Výpočet ztrát, kontrole účinnosti a oteplení transformátoru:

- a) Stanovíme délky jednotlivých vinutí takto: $l_i = l_{\text{si}} \cdot N_i \cdot 10^{-3} [\text{m}]$
 $l_{\text{si}} = o + 2\pi h_{\text{si}} [\text{mm}]$
 kde o je obvod použitého cívkového těleska (viz tab.č.1, sl.10).
 h_{si} je střední výška i-tého vinutí, která se vypočítá:
 pro 1. vinutí $h_{\text{si}} = 1/2 h_1$,
 pro 2. vinutí $h_{\text{si}} = h_1 + 1/2 h_2$,
 pro 3. vinutí $h_{\text{si}} = h_1 + h_2 + 1/2 h_3$,
 atd.

b) Vypočítáme odpory R_i ; jednotlivých vinutí: $R_i = l_i \cdot r_i \cdot 10^{-3} [\Omega \cdot m, \Omega / km]$
kde r_i je odpor délky 1 km vodiče i-tého vinutí, který odebíráme z tab.3, sl.5
pro daný primář.

c) Vypočítáme ztráty ve vinutí: $W_v = \sum I_i^2 \cdot R_i \quad [W; A, \Omega]$

d) Stanovíme přibližnou váhu G transformátoru: $G = G_v + G_z$

Váha vinutí $G_v = \sum l_i \cdot g_i \cdot 10^6$, kde g_i je váha 1 km drátu daného průměru pro i-té vinutí, odebíráme z tab.3, sl.7 $[G_v] = kg, [l_i] = m, [g_i] = g/km$
Váha železa G_z se najde pro daný typ jádra v tab.1, sl.11.

e) Ztráty v železe určíme ze vztahu $W_z = \alpha p \cdot G_z \quad [W; W/kg, kg]$ pro sýcení $B_{max} = 1T$
 αp je ztrátové číslo použitých plach (viz tab.4). Pro jiné sýcení B'_{max} musíme výraz násobit poměrem $(\frac{B'_{max}}{B_{max}})^2$.

f) Celkové ztráty transformátoru $W = W_v + W_z$

g) Vypočítáme skutečnou účinnost ze vztahu $\eta = \frac{P_s}{P_s + W} \cdot 100 [\%]$. Takto vypočítaná účinnost nesmí být menší než účinnost zvolená v bodě 1 b).

h) Aby oteplení transformátoru neprestoupilo $60^\circ C$, musí přibližně platit: $\frac{S_0}{W} \geq 18+28$
kde S_0 je ochlazovací plocha transformátoru / m^2 / odebírána z tab.1, sl.12.
Číslo 18 platí pro dobře chlazený transformátor, t.j. transformátor umístěný v uzavřeném objemu alespoň 10x větším než je objem transformátoru, přičemž jedna svíslá stěna krytu je děrována. Číslo 28 platí pro špatně chlazený transformátor, t.j. transformátor umístěný v kovovém krytu o objemu alespoň 3x větším než je objem transformátoru, přičemž 1/2 jedné stěny je děrována.

6. Příklad návrhu transformátoru:

Má se navrhnout síťový transformátor s těmito hodnotami: primář 220 V

sekundář 2x200 V/0,1 A

6,3 V/2 A

4 V/3,3 A

Postupujeme podle jednotlivých bodů návodu:

1) a) $P_s = 280 \times 0,1 + 6,3 \times 2 + 4 \times 1 = 45 \text{ VA}$

b) Z grafu č.1 pro $P_s = 45 \text{ VA}$ je účinnost $\eta = 79\%$

c) $P = \frac{45}{0,79} = 57 \text{ VA}$

d) Pro tento příkon P použijeme podle tabulky 1 plachy EI 25 o výšce svazku 32 mm. Při použití plach tlušťky 0,35 mm je třeba 89 plach.

2. a) Pro maximální sycení i T můžeme počít závitů na volt N určit z tab.1, sl.3 pro frekvenci $f = 50 \text{ Hz}$: $N = 6,6 \text{ záv./V}$

b) počet závitů na primáru: $N_1 = 6,6 \times 220 = 1450 \text{ záv.}$

Z grafu č.1, zjistíme pro $P_s = 45 \text{ VA}$: $k = 1,15$

Počty závitů sekundáru $N_{S1} = 2 \times 6,6 \times 280 \times 1,15 = 2 \times 2150 \text{ záv.}$

$$N_{S2} = 6,6 \times 6,3 \times 1,15 = 48 \text{ záv.}$$

$$N_{S3} = 6,6 \times 4 \times 1,15 = 31 \text{ záv.}$$

3. a) Z grafu č.1, odcítáme pro $P_s = 45 \text{ VA}$ příslušné $\Delta U = 12,5\%$

Z tabuč.1, sl.5 pro 100% plníl a plechy 0,35 mm určíme $k_\sigma = 0,2721$. Pak proudová hustota $G = k_\sigma \cdot \Delta U = 0,2721 \times 12,5 = 3,4 \text{ A/mm}^2$

b) Průměry vodičů jednotlivých vinutí budeme určovat z tab. 3, sl.1 a 2 pro proudovou hustotu nejbližší níže: $G_{tab} = 3 \text{ A/mm}^2$

$$\text{Primář: } I_1 = \frac{P}{U_1} = \frac{57}{220} = 257 \text{ mA} \quad \text{průměr Cu drátu } d_1 = 0,335 \text{ mm}$$

$$\text{Sekundář: } I_{S1} = 100 \text{ mA} \quad \text{průměr Cu drátu } d_{S1} = 0,212 \text{ mm}$$

$$I_{S2} = 2000 \text{ mA} \quad d_{S2} = 0,95 \text{ mm}$$

$$I_{S3} = 1000 \text{ mA} \quad d_{S3} = 0,67 \text{ mm}$$

4. a) Přibližná kontrola plníl okénka:

plochy jednotlivých vinutí:

$$S_i = \frac{N_i}{n_i} \quad \text{kde } n_i \text{ je počet závitů na } 1 \text{ cm}^2 \text{ pro drát } 0,335 \text{ mm.}$$

$$\text{Z tab.č.3, sl.1) určíme pro } d_1 = 0,335 \text{ počet } n_1 = 625 \text{ i } S_1 = \frac{1450}{625} = 2,32 \text{ cm}^2$$

$$\text{Podobně plochy vinutí sekundáru: } S_{S1} = \frac{2 \times 2125}{1500} = 2,84 \text{ cm}^2$$

$$S_{S2} = \frac{48}{90} = 0,533 \text{ cm}^2$$

$$S_{S3} = \frac{31}{170} = 0,183 \text{ cm}^2$$

$$\text{Celková plocha potřebná pro vinutí } \sum S_i = 5,876 \text{ cm}^2$$

Plocha okénka užitého jádra podle tab.1, sl.7 je pro vývody z obou stran $S_v = 2,3 \text{ cm}^2$

Protože $1,25 \sum S_i = 1,25 \cdot 5,8 > S_v$, není vinutí na daném jádře proveditelné.

Musíme proto zvolit větší jádro a výpočet provést znova od bodu 1.d).

1. d) Zvolíme plechy EI 40 o výšce svazku 32 mm. Při použití plechů tloušťky 0,35 mm je třeba 89 plechů.

2. a) $N = 4,12 \text{ záv./V}$

b) $N_1 = 4,12 \times 220 = 907 \text{ záv.}$

$$N_{S1} = 2 \times 4,12 \times 280 \times 1,15 = 2 \times 1327 \text{ záv.}$$

$$N_{S2} = 4,12 \times 6,3 \times 1,15 = 30 \text{ záv.}$$

$$N_{S3} = 4,12 \times 4 \times 1,15 = 19 \text{ záv.}$$

3. a) b) Platí hodnoty určené výše.

4. a) Přibližnou kontrolu plnění okénka nebudeme nyní provádět, provedeme přesnou kontrolu:

b) Z tab.3, sl.4: $\nu_1 = 24$, $\nu_{s1} = 38$, $\nu_{s2} = 9$, $\nu_{s3} = 13$ [záv./cm]

Užitečná šířka okénka pro plechy EI 40 s vývody po obou stranách je z tab.1, sl.8:

$$\text{Počty poloh: } x_1 = \frac{N_1}{S \cdot \nu_1} = \frac{907}{4,8 \cdot 24} = 8 \text{ poloh}; \quad x_{s1} = \frac{2654}{4,8 \cdot 38} = 15 \text{ poloh}$$

$$x_{s2} = \frac{30}{4,8 \cdot 9} = 1 \text{ poloha}; \quad x_{s3} = \frac{19}{4,8 \cdot 13} = 1 \text{ poloha}$$

Výšky vinutí bez prokladů:

$$h_1' = 1,1 \times x_1 \times d_{max} = 1,1 \times 8 \times 0,38 = 3,34 \text{ mm}$$

$$h_{s1}' = 1,1 \times x_{s1} \times 0,247 = 4,08 \text{ mm}$$

$$h_{s2}' = 1,1 \times x_{s2} \times 0,205 = 1,13 \text{ mm}$$

$$h_{s3}' = 1,1 \times x_{s3} \times 0,735 = 0,81 \text{ mm}$$

Tloušťka prokladových vrstev:

Primář: 7 prokladových vrstev lakového papíru 0,06 mm mezi jednotlivými polohami, celková výška 0,42 mm.

Sekundár: (2 x 280 V) 14 prokladových vrstev lakového papíru 0,06 mm, celková výška 0,84 mm

Mezi jednotlivými vinutími vždy 2x olejové plátno, t.j. celková výška $3 \times 2 \times 0,1 = 0,6 \text{ mm}$.

Tedy celková potřebná výška pro vinutí: $3,34 + 4,08 + 1,13 + 0,81 + 0,42 + 0,84 + 0,6 = 11,22 \text{ mm}$. Výška okénka pro vinutí u plechů EI 40 s vývody po obou stranách je podle tab.1, sl.9 $h_o = 15 \text{ mm}$, což je větší než výška vypočtemá. Vinutí se tedy do okénka vejde.

5. a) Délky jednotlivých vinutí se vypočítají pro vinutí v následujícím pořadí takto:

Obvod cívkového těleska $o = 223 \text{ mm}$

$$\text{Primářní vinutí: } l_1 = [223 + 2\pi \cdot 1/2 \cdot (3,34 + 0,42)] \cdot 907 \cdot 10^3 = 213 \text{ m}$$

$$\text{Sekundár (2 x 280 V): } l_{s1} = [223 + 2\pi [3,34 + 0,42 + 1/2 (4,08 + 0,84)]] \cdot 2654 \cdot 10^3 = 695 \text{ m}$$

$$\text{Sekundár (6,3 V): } l_{s2} = [223 + 2\pi (3,34 + 0,42 + 4,08 + 0,84 + 1/2 \cdot 1,13)] \cdot 30 \cdot 10^3 = 8,4 \text{ m}$$

$$\text{Sekundár (4 V): } l_{s3} = [223 + 2\pi (3,34 + 0,42 + 4,08 + 0,84 + 1,13 + 1/2 \cdot 0,81)] \cdot 19 \cdot 10^3 = 5,45 \text{ m}$$

b) Odpor jednotlivých vinutí:

$$R_1 = l_1 \cdot r_1 \cdot 10^3 = 213 \cdot 199 \cdot 10^3 = 42,3 \Omega$$

$$R_{s1} = l_{s1} \cdot r_{s1} \cdot 10^3 = 0,5 \cdot 695 \cdot 497 \cdot 10^3 = 173 \Omega$$

$$R_{s2} = l_{s2} \cdot r_{s2} \cdot 10^3 = 8,4 \cdot 24,75 \cdot 10^3 = 0,208 \Omega$$

$$R_{s3} = l_{s3} \cdot r_{s3} \cdot 10^3 = 5,45 \cdot 49,76 \cdot 10^3 = 0,271 \Omega$$

- c) Ztráty ve vinutí: $W_v = \sum I_i^2 R_i = 0,257^2 \cdot 42,4 + 0,1^2 \cdot 173 + 2^2 \cdot 0,208 + 1,1^2 \cdot 0,271 = 5,69 \text{ W}$
- d) Váha železa pro jádro EI 40 o výšce svazku 32 mm je podle tab. 1, sl. 11 $G_z = 2,07 \text{ kg}$
- e) Ztráty v železe W_z : Máme 11 plechů o ztrátovém čísle $\Delta p = 13$, jsou ztráty v železe $W_z = \Delta p \cdot G_z = 1,3 \cdot 2,07 = 2,69 \text{ W}$
- f) Celkové ztráty transformátoru: $W = W_v + W_z = 8,38 \text{ W}$
- g) skutečná účinnost transformátoru: $\eta = \frac{P_o \cdot 100}{P_s + W} = \frac{45 \cdot 100}{45 + 8,38} = 84,4 \%$,
tedy účinnost vyšla poněkud větší než původní (odečtená z grafu 1).
- h) Kontrola oteplení: ochlazovací plocha $S_o = 381 \text{ cm}^2$
Poměr $\frac{S_o}{W} = \frac{381}{8,38} = 45,4 > 18 \div 28$,
a tedy transformátor se neoteplí o 60°C ani při špatném chlazení.

POZNÁMKY.

1. Izolace proti kostře a vnitřní izolace plně navinuté cívky.

Cívku před vinutím drátu ovíjeme olejovým plátnem tloušťky 0,1 mm.
Počet ovínů je určen zkoušebním napětím proti jádru, a to :

2x pro efektivní hodnotu zkoušebního napětí 1.500 V ef
3x " " " " " 2.000 V ef

2. Izolace poloh (proklady).

Tloušťka prokladového papíru je závislá na průměru drátku, a to:
pro drát do 0,2 mm lakový papír 0,03 mm
" 0,2 - 1 mm " " 0,06 mm
" přes 1 mm " " 0,10 mm

Izolace jednotlivých poloh při použití smalt. drátu prováděme tehdy, když napětí mezi počátečními závity první a mezi konečními závity druhé polohy přesahuje špičkovou hodnotu 25 V (17,5 V ef). Při špičkovém napětí mezi 15 a 20 V izolujeme každou třetí polohu a při napětí menším než 15 V každou pátou polohu. U sítových transformátorů izolujeme vždy všechny polohy.

Jednotlivé uzavřené vinutí izolujeme mezi sebou olejovým plátnem 0,1 mm nebo triacetátovou folií 0,06 mm. Počet ovínů je závislý na rozdílu napětí mezi jednotlivými vinutími:

při rozdílu napětí menším než 1.500 V ef 2x olejové plátno
" " " " 2.000 V ef 3x olejové plátno
a na každých dalších 500 V přidáme 1 vrstvu olejového plátna.

3. Vývody.

Všechna vyšší napětí je třeba vyvádět izolační trubičkou, a to:
do 1.500 V ef ... jednou trubičkou
do 4.000 V ef ... dvěma do sebe zasunutými trubičkami

4. Označení transformátorů.

Na vnější izolaci cívky se nalepí štítek s těmito údaji:
počty závitů a průměry drátků, (označení vývodů, napětí atd.);

5. Izolace vzhledem k oteplení.

Za předpokladu, že teplota okolního vzduchu nepřesahuje 35°C je nejvyšší dovolená teplota (u vinutí chlazeného jen vzduchem) pro izolaci tř.A ... 95°C
 tř.B ... 115°C

při napětí zvýšeném o 10% .

Izolace tř. A : bavlna, hedvábí, papír a podobné org. látky napuštěné nebo trvale ponorené v oleji, smalt.

Izolace tř. B : síla, azbest a jiné neorg. látky odolovájící vysoké teplotě a spojené malým množstvím spojovací látky A nebo lepidlem tak, že izolují a mechanicky vyhovují, i když se spojovací látka poruší.

Litteratura: Norma ČSN 34 - 7325

Pohanka: Stavba silových transformátorů, SNTL 1960

Dršík a kol.: Příručka radiotechnické praxe, NV 1959

Sdílovací technika 2/1956, str.42 - 46

" " 6/1959, str.284-288

Tabulka č. 4 Barevné označení ztrátového čísla Δp [W/kg]
 transformátorových plechů,

Δp	Barevné označení
1	bílá
1,1	žlutá
1,2	oranžová
1,3	modrá
1,45	růžová
1,5	tmavě fialová
1,75	zelená
2	hnědá
2,3	žlutá
2,6	červená
3	bílá
3,6	bez označení

Vyráběné transformátorové a dynamové plechy

TM 1,2 - 1,3 - 1,45 - 1,6 0,5mm

TN 1,1 - 1,2 - 1,3 - 1,45 - 1,6 0,35mm

DN 1,75 - 2 - 2,3 - 2,6 - 3,0 - 3,6 0,5 mm

Hodnoty pro výpočet transformátorů s jádrem EI - první část.
 (Návod Vt 1394 T)

Tabulka č. 1

1	2	3	4	5	6	7	8	9	10	11	12
Příkon [PVA]	Výška svazku [mm]	Počet jednotek	CÍLÝ příkon [W]	k _σ [A/mm ²]	příkladní 100%	příkladní 50%	příkladní 25%	příkladní 12,5%	příkladní 6,25%	příkladní 3,125%	příkladní 1,5625%
1 E1 10	8	16	22,59	20	66,28	0,76	0,68	0,607	0,590	0,583	0,578
2 E1 10	10	20	28,47	15	53,1	0,76	0,66	0,574	0,535	0,527	0,517
2 E1 12,5	12,5	25	35,77	14,5	62,5	1,19	1,06	0,92	0,81	0,705	0,603
3 E1 12	15	30	45,25	13,1	1,32	1,16	1,05	0,92	0,81	0,705	0,603
4 E1 12	16	32	45,25	13,1	1,32	1,16	1,05	0,92	0,81	0,705	0,603
3 E1 12	10	20	28,47	15	53,1	0,76	0,68	0,607	0,590	0,583	0,578
4 E1 12	12,5	25	35,77	14,5	62,5	1,19	1,06	0,92	0,81	0,705	0,603
5 E1 12	16	32	45,25	13,1	1,32	1,16	1,05	0,92	0,81	0,705	0,603
6 E1 12	20	40	55	19,7	22,1	2,28	2,04	1,800	1,606	1,634	1,459
5 E1 16	12,5	25	23,7	20,5	1,90	1,70	1,619	1,448	1,424	1,274	7,3
6 E1 16	16	32	45,18	20,6	2,43	2,18	1,892	1,700	1,682	1,511	8,0
7 E1 16	20	40	55	14,8	16,5	3,04	2,72	2,127	1,907	1,912	1,715
8 E1 16	20	40	55	11,85	13,3	3,60	3,40	2,234	2,105	2,149	1,915
9 E1 20	16	32	45	14,8	16,5	3,04	2,72	2,080	1,866	1,820	1,632
10 E1 20	20	40	55	11,85	13,3	3,60	3,40	2,261	2,104	2,092	1,864
20 E1 20	25	50	69	9,35	10,2	4,70	4,40	2,834	2,474	2,358	2,225
30 E1 20	32	64	89	7,36	8,35	6,10	5,40	3,045	2,681	2,257	2,041
30 E1 25	20	40	55	9,58	10,2	4,70	4,40	2,955	2,409	2,232	2,096
40 E1 25	25	50	69	7,66	8,5	5,90	5,30	3,285	2,856	2,575	2,321
60 E1 25	32	64	89	5,92	6,6	7,60	6,80	3,397	3,952	3,033	2,271
60 E1 30	32	64	80	5,50	5,3	8,50	8,30	3,784	4,081	3,416	3,055

Tabulka č. 1

Hodnoty pro výpočet transformátorů s jádrem EI - první část.

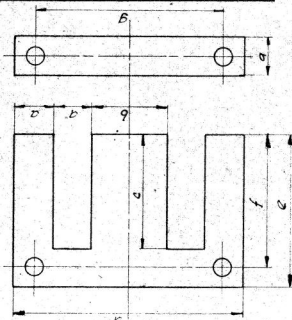
(Návod Vt 1394 T)

Tabelka 1: Hodnoty pro výpočet transformátorů s jádrem EI - druhá část.

	1	2	3	4	5	6	7	8	9	10	11	12
P [VA]												
50 E1 32	50	69	5,92	6,60	7,00	6,30	6,363	6,297	6,216	6,256	6,15	6,10
100 E1 32	32	64	89	4,64	5,17	9,72	8,70	8,77	8,407	8,317	8,297	8,212
200 E1 32	40	80	111	3,69	4,12	12,20	10,90	10,90	10,4122	10,317	10,317	10,212
500 E1 32	50	100	139	2,95	3,40	11,50	10,50	10,50	9,4313	9,3633	9,3633	9,212
1000 E1 32	52	64	89	2,41	2,95	12,20	11,50	11,50	10,4304	10,4277	10,4277	10,212
2000 E1 32	52	64	89	2,12	2,65	12,20	11,50	11,50	10,4598	10,4598	10,4598	10,212
50 E1 40	50	80	111	2,95	3,40	12,20	11,50	11,50	10,4122	10,3596	10,3222	10,212
100 E1 40	40	80	111	2,41	2,95	12,20	11,50	11,50	10,4122	10,4151	10,3723	10,212
200 E1 40	50	80	111	2,12	2,65	12,20	11,50	11,50	10,4122	10,4224	10,4224	10,212
500 E1 40	50	100	139	1,95	2,41	12,20	11,50	11,50	10,4122	10,4147	10,4245	10,212
1000 E1 40	50	100	139	1,78	2,05	12,20	11,50	11,50	10,4122	10,5411	10,5463	10,212
50 E1 50	50	80	111	2,12	2,65	12,20	11,50	11,50	10,4122	10,5465	10,5465	10,212
100 E1 50	50	80	100	1,95	2,41	12,20	11,50	11,50	10,4122	10,6562	10,6562	10,212
200 E1 50	50	80	100	1,78	2,05	12,20	11,50	11,50	10,4122	10,7584	10,6786	10,212
500 E1 50	50	100	139	1,65	1,95	12,20	11,50	11,50	10,4122	10,8621	10,6821	10,212
1000 E1 50	50	100	139	1,55	1,85	12,20	11,50	11,50	10,4122	10,9559	10,8559	10,212
50 E1 64	50	80	100	1,35	1,48	1,65	1,35	1,35	1,3903	1,4000	1,4171	1,5477
100 E1 64	64	128	178	1,15	1,25	1,25	1,15	1,15	1,1711	1,1711	1,1711	1,2111
200 E1 64	80	150	224	0,95	1,03	1,03	0,95	0,95	0,9508	0,9508	0,9582	0,9755
500 E1 64	100	200	278	0,74	0,85	0,85	0,74	0,74	0,7670	0,8603	0,8522	0,9569
1000 E1 64	100	200	278	0,55	0,60	0,60	0,55	0,55	0,5440	0,6440	0,6211	0,7171

Tabulka č.2
Rozměry normalizovaných transformátorových plechů
řady EI podle normy NT-N 001. (Návod Vt 1394 T)

Typ	a	b	c	d	e	f	g
EI 10	5,0	10	15,0	30	20,0	-	-
EI 12	6,5	12	19,0	38	25,5	-	-
EI 16	9,0	16	24,0	48	32,0	-	-
EI 20	10,0	20	30,0	60	40,0	35,0	50,0
EI 25	12,5	25	37,5	75	50,0	43,75	62,5
EI 32	16,0	32	48,0	96	64,0	56,0	80,0
EI 40	20,0	40	60,0	120	80,0	70,0	100,0
EI 50	25,0	50	75,0	150	100,0	87,5	125,0
EI 64	32,0	64	96,0	192	128,0	112,0	160,0



Tabuľka č. 3

Převelic vodíčů - První část. (Návod Vt 1.94 T)

Proud I [mA] při hustotě σ [A/mm^2]						1	2	3	4	5	6	7
1,5	2,0	2,5	3,0	4,0	5,0	Jmenovitý průměr drátu d [mm]	Počet závitů na 1 cm 1 cm n	Počet závitů na 1 cm 1 cm n	Počet závitů na 1 cm 1 cm n	Odpor r [Ω / m]	Váha δ [g/m]	
1	1,5	1,7	2	3	3,4	0,030	39,00 \times 10 ³	200	0,048	24,82 \times 10 ³	6	
2	2,5	3,0	4	5	6,0	0,040	27,00	165	0,058	11,95	13	
3	4,0	5,0	6	8	10,0	0,050	19,00	140	0,068	8,93	20	
4	5	6	8	10	12	0,056	15,00	125	0,077	7,12	25	
5	6	8	10	12	16	0,063	12,50	115	0,084	5,63	31	
6	8	10	12	16	20	0,071	10,50	105	0,092	4,43	39	
8	10	13	15	20	26	0,080	9,00	95	0,101	3,49	49	
10	13	16	20	26	32	0,090	7,00	85	0,111	2,76	61	
12	16	20	24	32	40	0,100	6,00	75	0,121	2,23	75	
15	20	25	30	40	50	0,112	5,00	67	0,141	1,78	95	
18	24	31	36	48	60	0,125	4,50	61	0,154	1,43	118	
20	27	34	39	46	54	0,132	4,00	58	0,161	1,28	131	
23	31	35	44	54	62	0,140	3,50	55	0,169	1,14	147	
27	35	40	50	60	70	0,150	3,00	52	0,178	0,95	169	
30	40	50	60	80	100	0,160	2,50	49	0,189	0,87	192	
34	45	56	68	88	102	0,170	2,25	46	0,200	0,77	216	
38	51	63	75	90	116	0,180	2,00	44	0,210	0,68	240	
42	57	71	84	94	114	0,190	1,80	42	0,220	0,59	267	
47	63	76	88	94	126	0,200	1,65	40	0,230	0,56	283	
53	71	80	106	142	176	0,212	1,50	38	0,247	0,50	311	
59	78	98	116	156	196	0,224	1,35	36	0,259	0,45	365	
65	87	110	130	174	220	0,236	1,25	34	0,281	0,40	405	
74	98	123	146	196	246	0,250	1,10	32	0,285	0,36	455	
83	110	137	166	220	274	0,265	0,97	30	0,303	0,318	510	
92	123	154	184	246	308	0,280	0,87	29	0,318	0,255	570	
106	141	177	212	282	354	0,300	0,77	27	0,338	0,249	650	
116	155	194	222	310	388	0,315	0,65	25	0,360	0,225	720	
132	176	220	264	352	440	0,335	0,62	24	0,390	0,199	810	
148	198	248	296	396	495	0,355	0,55	23	0,400	0,177	910	
165	220	275	330	440	550	0,375	0,51	22	0,420	0,159	1010	
183	250	314	376	500	628	0,400	0,45	21	0,445	0,140	1150	
212	284	355	424	568	710	0,425	0,40	20	0,447	0,124	1310	
240	320	400	480	640	800	0,450	0,35	19	0,502	0,110	1460	
265	350	442	510	684	834	0,475	0,32	18	0,527	0,099	1620	

V	Proud I [mA]				pri hustote σ [A/mm^2]				jednotky priemier čítaču [nm]	počet závitů na 1cm^2 n	max. výška priemer čítaču max. [mm]	počet ziv. na 1 cm	max. výška priemer čítaču max. [mm]	odpor r [MΩ/km]	váha [g/cm]
	1,5	2,0	2,5	3,0	4,0	5,0									
0,29x10 ⁻³	0,48x10 ⁻³	0,39x10 ⁻³	0,59x10 ⁻³	0,58x10 ⁻³	0,36x10 ⁻³	0,30	300	300	300	17	0,552	89,350	1,8x10 ³	3,24	
0,33	0,44	0,55	0,61	0,66	0,85	1,10	0,530	255	16	0,550	79,519	2,06			
0,37	0,49	0,61	0,74	0,99	1,23	1,23	0,550	240	15	0,620	71,230	2,23			
0,42	0,56	0,70	0,85	1,13	1,41	1,41	0,600	210	14	0,660	62,050	2,32			
0,47	0,63	0,78	0,94	1,26	1,57	1,57	0,630	190	13	0,690	56,279	2,37			
0,53	0,71	0,88	1,06	1,42	1,75	1,75	0,670	170	13	0,715	49,750	3,24			
0,59	0,79	0,99	1,19	1,58	1,98	1,98	0,710	155	12	0,775	44,311	3,53			
0,66	0,88	1,09	1,32	1,76	2,20	2,20	0,750	140	11	0,825	39,710	4,18			
0,75	1,00	1,25	1,50	2,00	2,50	2,50	0,800	120	10	0,903	34,903	4,70			
0,85	1,13	1,42	1,70	2,27	2,84	2,84	0,850	110	10	0,975	30,916	5,38			
0,95	1,27	1,59	1,91	2,54	3,18	3,18	0,900	100	9	0,975	27,576	5,84			
1,06	1,42	1,77	2,12	2,84	3,54	3,54	0,950	90	9	1,025	24,751	6,47			
1,15	1,57	1,96	2,36	3,14	4,03	4,03	1,000	83	9	1,075	22,332	7,15			
1,2	1,76	2,20	2,64	3,52	4,40	4,40	1,060	74	8	1,115	19,880	8,25			
1,47	1,95	2,46	2,95	3,92	4,92	4,92	1,120	65	8	1,215	17,807	9,15			
1,54	2,18	2,74	3,28	4,26	5,26	5,26	1,180	56	7	1,275	16,042	10,15			
1,63	2,44	3,03	3,63	4,67	5,67	5,67	1,250	50	7	1,345	14,296	11,25			
2,05	2,75	3,42	4,10	5,46	6,94	6,94	1,320	44	6	1,415	12,820	12,40			
2,25	3,09	3,75	4,50	6,00	7,50	7,50	1,400	40	6	1,455	11,397	13,55			
2,70	4,50	5,30	6,10	7,20	9,00	9,00	1,500	33	5	1,595	9,927	15,95			
3,00	4,90	5,90	6,90	8,00	10,00	10,00	1,600	28	5	1,655	8,725	18,10			
3,40	5,31	6,36	7,44	8,50	9,58	9,58	11,34	1,700	26	5	1,800	7,729	20,45		
3,62	5,59	6,67	7,64	8,70	10,18	10,18	12,72	1,800	23	5	1,900	6,895	22,95		
4,25	5,67	7,09	8,50	9,42	11,74	11,74	14,18	1,900	21	4	2,000	6,183	25,55		
4,71	6,26	7,96	9,42	12,36	15,72	15,72	2,000	19	4	2,100	5,384	26,15			
5,30	7,06	8,83	10,50	14,12	17,66	17,66	2,120	16	4	2,250	4,970	21,95			
5,51	7,88	9,65	11,02	15,75	19,70	19,70	2,240	15	4	2,330	4,452	35,90			
5,75	10,94	13,12	17,90	21,88	21,88	21,88	2,350	14	3	2,470	4,011	39,35			
6,61	11,02	13,22	17,64	21,04	25,00	25,00	2,500	12	3	2,610	3,374	44,15			
8,27	11,03	13,78	16,54	22,06	27,56	27,56	2,650	10	3	2,770	3,181	49,25			
9,21	12,32	15,19	18,48	24,64	30,76	30,76	2,800	3	3	2,920	2,845	55,35			
10,50	14,14	17,37	21,20	25,26	30,34	30,34	3,000	3	3	3,120	2,482	65,40			

Graf. č. 1 : Závislost účinnosti η , sítitelského koeficientu k a napěťového úbytku ΔU na výkonu sekundáru.
 (Návod Vt 1394 T)

